

1. Publicação nº <i>INPE-4988-PRE/1550</i>	2. Versão	3. Data <i>Agosto, 1989</i>	5. Distribuição <input type="checkbox"/> Interna <input checked="" type="checkbox"/> Externa <input type="checkbox"/> Restrita
4. Origem <i>DEM-6653</i>	Programa <i>A684-506303</i>		
6. Palavras chaves - selecionadas pelo(s) autor(es) <i>CONTROLE TÉRMICO</i> <i>TESTE VÁCUO TÉRMICO</i> <i>INFRA-VERMELHA</i>			
7. C.D.U.: 629.7.018			
8. Título  <i>SIMULAÇÃO DO AMBIENTE ESPACIAL DO SATELITE SCD-01 POR PLACAS AQUECEDORAS</i>		10. Páginas: 05	
9. Autoria  <i>Humberto Pontes Cardoso</i> <i>Ezio Castejon Garcia</i>		11. Última página: 04	
Assinatura responsável  <i>Humberto Castejon</i>		12. Revisada por  <i>Issamu Muraoka</i> <i>Issamu Muraoka</i>	
14. Resumo/Notas  <p style="text-indent: 40px;"><i>Este artigo apresenta o modelo de simulação espacial desenvolvido para a realização dos testes vácuo-térmicos de aceitação do satélite brasileiro SCD-01. O modelo adotado baseia-se na simulação por placas aquecedoras na faixa da radiação infra-vermelha. Os resultados obtidos confirmam a viabilidade da técnica.</i></p>		13. Autorizada por   <i>Clóvis Solano Pereira</i> <i>Diretor da ETE</i>	
15. Observações <i>Este trabalho será apresentado no X Congresso Brasileiro de Engenharia Mecânica, COBEM - Rio de Janeiro, RJ - 05-08 de Dezembro de 1989.</i>			

X CONGRESSO BRASILEIRO DE ENGENHARIA MECÂNICA, RIO DE JANEIRO, RJ (DEZEMBRO, 1980)  
10<sup>th</sup> BRAZILIAN CONGRESS OF MECHANICAL ENGINEERING



PROFESSOR FERDINANDO  
FILI TRISTAN

SIMULAÇÃO DO AMBIENTE ESPACIAL DO SATELITE SCD-01  
POR PLACAS AQUECEDORAS



PEM  
PROGRAMA DE  
ENGENHARIA  
MECÂNICA  
COPPE/UFRJ

Humberto Pontes Cardoso  
DEM/INPE-SP  
e  
Ezio Castejon Garcia  
LIT/INPE-SP

RESUMO

Este artigo apresenta o modelo de simulação espacial desenvolvido para a realização dos testes vácuo-térmicos de aceitação do satélite brasileiro SCD-01. O modelo adotado baseia-se na simulação por placas aquecedoras na faixa da radiação infra-vermelha. Os resultados obtidos confirmam a viabilidade da técnica.

INTRODUÇÃO

O INPE desenvolve atualmente o primeiro satélite brasileiro, de Coletas de Dados Ambientais (SCD-01), cuja conclusão está prevista para julho de 1990. O SCD-01 tem a forma de um prisma octogonal com diâmetro externo de 100 cm, altura de 67 cm e uma massa de 115 Kg. Sua órbita prevista é circular de 750 km de altura com inclinação de 25° em relação ao equador com um período de 99 min. Sua vida útil deve ser de um ano. A figura 1 mostra uma vista explodida do SCD-01.

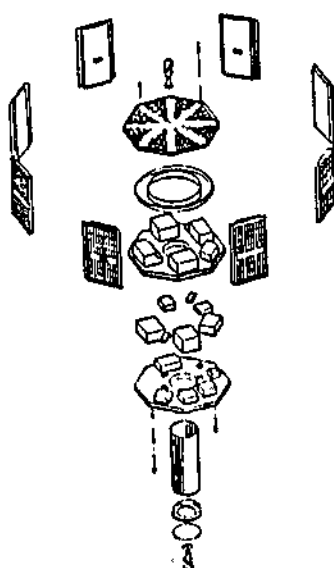


Figura 1. Vista explodida do satélite SCD-01.

Testes vácuo-térmicos constituem a última etapa do projeto e permitem a aceitação final do satélite para voo. Dois tipos de testes serão executados para o SCD-01: o Teste de Balanço Térmico (TBT) e o Teste de Ciclagem Térmica (TCT).

O TBT terá por objetivo verificar a concepção e aceitar o projeto térmico proposto. Neste teste serão impostas determinadas condições de carga térmica externa. A distribuição de temperatura obtida será comparada com os resultados fornecidos pelo modelo matemático. Um primeiro TBT já foi realizado em 1980 [1 e 2] numa instalação térmica, onde foi possível ajustar o modelo matemático utilizado e verificar de forma preliminar a concepção do projeto térmico.

O TCT objetiva a aceitação funcional do SCD-01 em condições extremas de temperatura. Neste teste, o SCD-01 será submetido alternadamente a patamares de alta e baixa temperatura, em níveis aproximadamente 10 °C acima ou abaixo das temperaturas máximas e mínimas, respectivamente, previstas para voo.

Normalmente, estes testes têm os custos muito elevados, por isso várias técnicas vêm sendo desenvolvidas com o intuito de barateá-los. As técnicas já desenvolvidas mais conhecidas são as simulações por simulador solar [3], por lâmpadas infra-vermelhas [4], por "skin-heaters" [5] e por "infrared shrouds" [6].

Para satélites de órbita elevada (geossíncronas), onde o sol é praticamente a única fonte de carga térmica externa, o uso de simulador solar tem sido o método preferido, apesar de seu elevado custo. Para órbitas baixas (aproximadamente 700 Km), outros de custos bem mais reduzidos tem sido utilizados. Devido às características geométricas relativamente simples e condições de órbita do SCD-01, e os recursos disponíveis, optou-se, para a realização dos testes vácuo-térmicos, pela técnica de placas aquecedoras, semelhante à utilizada por Wingate [6]. O presente artigo descreve a metodologia a ser empregada nestes testes.

TEORIA

O método adotado é a simulação por placas aquecedoras na faixa da radiação infra-vermelha. O conceito se baseia na colocação de placas com aquecedores próximos aos painéis laterais e superior do SCD-01.

Desta maneira, os fatores de forma placas-paineis ficam próximos de um. O conjunto formado é colocado em uma câmara vácuo-térmica (CVT), onde então é realizado um balanço de energia. A dissipação dos equipamentos eletrônicos do SCD-01 e das placas aquecedoras são as fontes de calor e a camisa térmica da CVT, o sumidouro. Para cada situação de operação e de carga térmica (para o TBT) ou de temperatura (para o TCT) no SCD-01, são impostas dissipações nas placas e uma temperatura na camisa da CVT.

O modelo matemático desenvolvido por Murakka et alii [7] para análise do controle térmico do SCD-01 serviu como base para o desenvolvimento do modelo de simulação para os testes. Neste modelo, o sistema SCD-01, placas aquecedoras e CVT são divididos em 114 nós isotérmicos. A sequência de cálculos de modelamento é dada em três etapas principais: Na primeira são calculados os fatores de forma internos, cargas térmicas externas, conexões condutivas e capacidades térmicas dos nós, em função das características geométricas, materiais e parâmetros de órbita do satélite. Numa segunda etapa são estimados os acoplamentos radiativos em função dos fatores de forma e propriedades ópticas das superfícies. Finalmente é calculada a distribuição de temperatura em regime permanente dada por (1) ou regime transitório dada por (2), em função dos vários modos de dissipação dos equipamentos e condições de carga térmica externa.

$$T_i = m \sum_k (T_i/R_{ij} + Q_i) / \sum_j (1/R_{ij}) + (1)$$

$$T_i(t+t_1) = T_i(t) + \frac{((Q_i + \sum_j (T_j - T_i)/R_{ij})/C_i) \cdot dt}{(2)}$$

onde:

$T_{ik}$ , temperatura do nó i na k-ésima iteração;  
 $T_{it}$ ,  $T_i(t+t_1)$ , temperatura do nó i no instante t,  $t+t_1$ ;  
 $t_1$ , passo de integração;  
 $R_{ij}$ , resistência térmica entre os nós i e j;  
 $Q_i$ , fluxo de calor imposto ao nó i;  
 $C_i$ , capacidade do nó i;  
 $m$ , fator de amortecimento ( $\approx 0.5$ ).

#### DESCRICAÇÃO DOS TESTES

Nos testes, o SCD-01 seguirá um perfil de temperatura que está representado qualitativamente pela figura 2. A execução se dará em dez fases consecutivas, sendo as duas primeiras do TBT e as restantes do TCT.

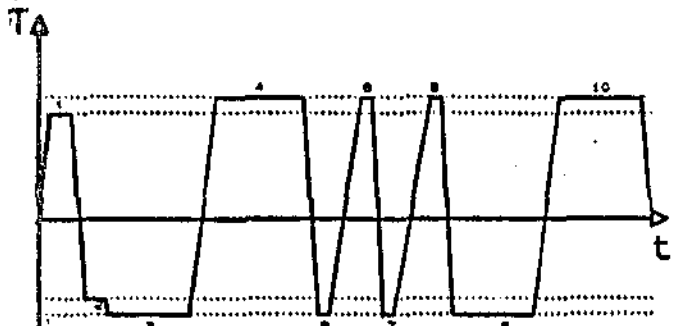


Figura 2. Perfil térmico representativo do SCD-01, durante os testes.

Cada painel lateral do SCD-01 será bloqueado por uma placa aquecedora lateral, de mesma dimensão do painel, a uma distância de 60 mm. Assim 08 placas aquecedoras laterais serão instaladas ao redor do satélite. O painel superior também será bloqueado, só que por uma única placa aquecedora, de mesma dimensão, a 160 mm. O painel inferior ficará desbloqueado com visada total para a CVT. A figura 3 apresenta este arranjo.

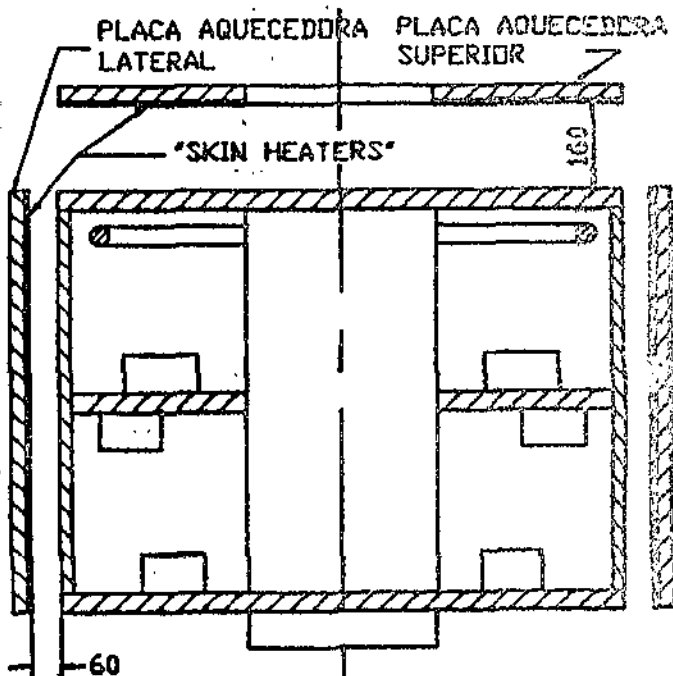


Figura 3. Disposição das placas aquecedoras no SCD-01.

A figura 4 summariza os meios de testes a serem utilizados.

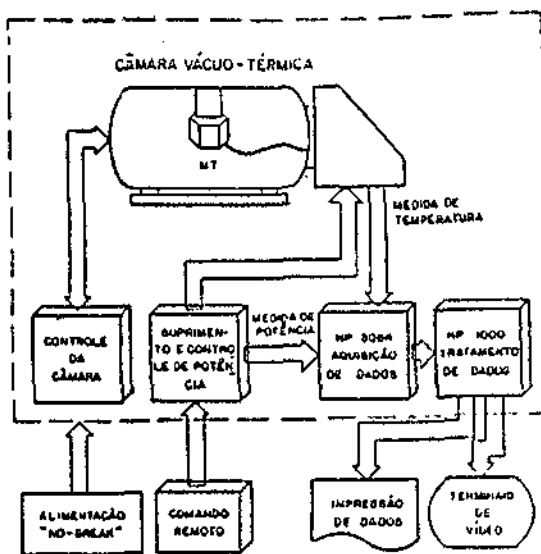


Figura 4. Meios de testes.

## RESULTADOS

A tabela 1 apresenta os valores das potências das placas aquecedoras e temperatura da camisa da CVT encontrados para as diversas fases dos testes.

Tabela 1. Potências das placas aquecedoras e temperatura da camisa da CVT.

FASE	POÊNCIAS ( WATTS )		TEMP. CAMISA DE OPERAÇÃO ( C )	TIPO	MODO
	PLACA LAT.SUP.	PLACA LAT.INF.			
1	301	230	510	- 0	stand-by
2	0	0	105	- 25	stand-by
3 e 9	0	0	105	- 32	TIPO 1 e 2
4 . 10	301	230	510	- 3	TIPO 1 e 2
5 , 7	0	0	105	- 32	TIPO 1
6 , 8	301	230	510	- 3	TIPO 1

A tabela 2 apresenta as temperaturas dos equipamentos previstas para o TBT (fases 1 e 2), para condições de máximas e mínimas temperaturas, em regime permanente.

Tabela 2. Temperaturas para o TBT, em regime permanente.

SUBSISTEMA NO	PLACA SUP. -510 W		PLACA SUP. - 105 W	
	PLACA LAT. -531 W	PLACA LAT. - 0 W	PLACA LAT. - 0 W	PLACA LAT. - 0 W
pcu	301	30.6	- 6.3	-
bateria	302	25.7	- 9.5	-
ele.magnet	303	28.0	- 8.9	-
sen.magnet	304	27.9	- 9.8	-
shunt - 1:50	42.4	-	+ 11.6	-
shunt - 2:60	42.9	-	+ 12.6	-
decodificador	311	38.3	- 0.4	-
pdu	312	35.3	- 4.8	-
conv.dc/dc	313	37.7	- 2.1	-
sen.solar1	314	35.1	- 5.6	-
transpond.	315	36.1	- 5.6	-
upc	316	35.8	- 3.5	-
sen.solar2	317	35.4	- 5.6	-
tx/rx 2	321	41.1	- 0.1	-
codificador	322	35.9	- 6.8	-
tx/rx 1	323	40.3	- 1.5	-
duplex 1	324	36.0	- 6.3	-
upd/c	325	38.1	- 4.0	-
duplex 2	326	36.6	- 6.1	- 0.2 - 0.3

A tabela 3 apresenta as temperaturas máximas e mínimas dos equipamentos obtidas nos patamares de altas e baixas temperaturas, durante o TCT. As oscilações de temperatura num mesmo patamar devem-se à variação da potência dissipada em cada subsistema.

Tabela 3. Temperaturas para o TCT.

SUBSISTEMA NO	PLACA SUP. - 510 W		PLACA SUP. - 105 W	
	PLACA LAT. -531 W		PLACA LAT. - 0 W	
	TEMP.CAMISA= -3 C	TEMP.CAMISA= -32 C	TEMP.CAMISA= -3 C	TEMP.CAMISA= -32 C
pcu	301	36.9; 36.3; 35.6; 35.5	- 1.9; 2.3; 3.5; 3.6	-
bateria	302	20.3; 20.4; 20.5; 20.4	- 9.9; - 10.0; - 9.6; - 9.7	-
ele.magnet	303	29.1; 20.8; 29.2; 20.6	- 10.0; - 12.6; - 10.0; - 11.9	-
sen.magnet	304	20.0; 27.0; 20.4; 27.8; - 11.9; - 5.1; - 11.5; - 11.0	-	-
shunt - 1	305	43.8; 32.0; 54.2; 37.3; 10.3; 1.1; 21.8; 4.6	-	-
shunt - 2	306	44.8; 32.9; 54.7; 37.0; 11.0; 0.5; 22.7; 5.0	-	-
decodificador	311	39.3; 39.3; 39.4; 30.8; - 2.2; 2.3; - 2.6; - 2.6	-	-
pdu	312	35.7; 35.5; 35.7; 35.4; - 7.4; - 7.5; - 7.4; - 7.6	-	-
conv.dc/dc	313	38.1; 37.7; 38.2; 37.7; - 4.7; - 5.1; - 4.6; - 5.0	-	-
sen.solar1	314	35.4; 34.9; 35.5; 35.0; - 0.4; - 0.8; - 0.3; - 0.7	-	-
transpond.	315	30.3; 37.4; 30.3; 37.4; - 6.2; - 7.8; - 6.1; - 7.8	-	-
upc	316	35.8; 35.6; 36.0; 35.7; - 6.5; - 6.6; - 6.3; - 6.4	-	-
sen.solar2	317	36.0; 35.6; 35.9; 35.5; - 7.4; - 7.8; - 7.5; - 7.9	-	-
tx/rx 2	321	41.0; 40.9; 40.0; 40.7; - 3.2; - 3.3; - 3.4; - 3.4	-	-
codificador	322	35.3; 35.3; 35.3; 35.3; - 10.4; - 10.4; - 10.4; - 10.4	-	-
tx/rx 1	323	41.9; 40.8; 41.9; 40.8; - 2.6; - 4.6; - 2.6; - 4.7	-	-
duplex 1	324	35.0; 35.5; 35.9; 35.5; - 9.5; - 9.9; - 9.5; - 9.6	-	-
upd/c	325	37.3; 37.3; 37.3; 37.3; - 0.8; - 0.7; - 0.6; - 0.6	-	-
duplex 2	326	36.6; 36.5; 36.8; 36.4; - 8.1; - 8.2; - 8.2; - 8.3	-	-

A figura 5 apresenta os perfis de temperatura desenvolvidos durante o transitorio entre dois patamares consecutivos, para os três equipamentos criticos no satélite: o transponder PCD, que apresenta a maior inercia térmica devido o desacoplamento com interior do satélite; o sensor magnetómetro, que apresenta a menor inercia, devido a sua baixa capacidade térmica; e a bateria, que sendo o equipamento mais sensivel do SCD-01, apresenta a menor faixa de operação (0 a 20 C).

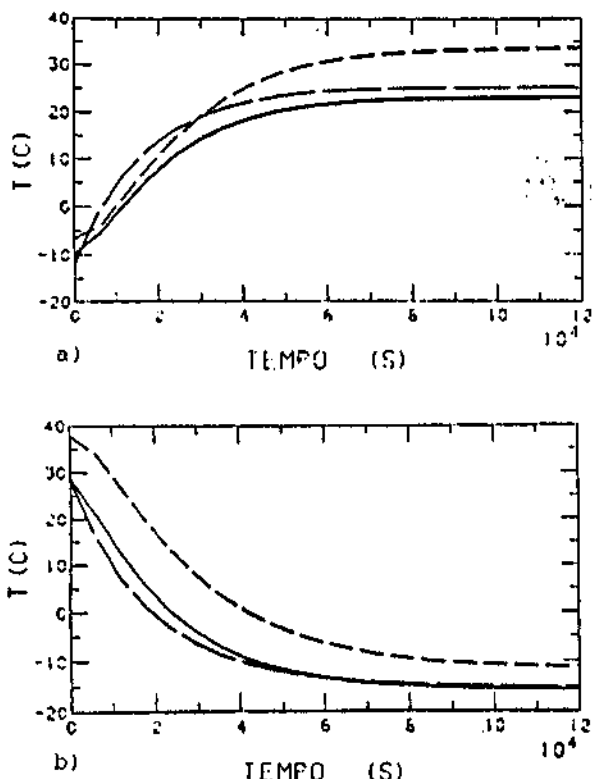


Figura 5. Transientes térmicos para o transponder PCD (---), sensor magnetômetro (—) e bateria (—), para situação de : a) mínima carga; b) máxima carga.

#### CONCLUSAO

Foi desenvolvida uma técnica de simulação flexível e de baixo custo. A técnica poderá ser aplicada a outros satélites de características semelhantes ao SCD-01.

As condições de cargas térmicas e/ou níveis de temperatura especificados para o SCD-01, poderão ser reproduzidas utilizando-se apenas os meios de testes já existentes nos Laboratórios de Integração e Testes e de Controle Térmico do INPE, sem necessidade de qualquer complementação.

O modelo desenvolvido possibilitará eventuais ajustes nas cargas térmicas, mesmo durante os testes, se necessário.

O tempo previsto de duração dos testes é de 240 horas contínuas.

#### AGRADECIMENTOS

Agradecemos ao técnico Sandro Rogério Furtado pela dedicação na elaboração dos desenhos.

#### REFERENCIAS

- [1] Ramos, F.M., Garcia, E.C. e Almeida, J.S.. Descrição e Análise do Ensaio do Modelo Térmico do Sátelite de Coleta de Dados. II-Encontro Nacional de Ciências Térmicas, Aguas de Lindóia, SP. 1988. Anais do ENCIT 88, pp. 381-384.
- [2] Cardoso, H.P.. SCD1 Thermal Balance Test - Results and Analysis. Instituto de

Pesquisas Espaciais, São José dos Campos, SP, 1989. INPE A-ETD-0054.

[3] Nuss, H.E., Space Simulation Facilities and recent experience in Satellite Thermal Testing. Pergamon Journals, Great Britain, 1987. Vacuum, vol 37, no 3/4.. pp. 297-302.

[4] Donato, M. et alii, Evaluation of the Infrared Test Method for the Olympus Thermal Balance Tests. The Journal of Environmental Sciences. May/June 1987. pp. 45-49.

[5] Presley, H.W. and Clifford, R.P., Tape Heating Method for Space Simulation Testing. TRW Space and Technology Group.

[6] Wingate, C. A. Jr. and Read, J.H., Thermal Balance Testing with Infrared Shrouds, an Economical Alternative to Solar Simulation. AIAA, Switzerland, oct.1984. IAF-84-374

[7] Muraoka, I. et alii, Projeto térmico detalhado do satélite SI. Instituto de Pesquisas Espaciais, São José dos Campos, SP, 1988. INPE AETD0024.

#### ABSTRACT

This paper presents the simulation model developed to the fulfilment of the acceptance thermal vacuum tests of the SCD-01 brazilian satellite. The adopted method is based in the simulation by infrared heater plates. The results confirmed the technic suitability.



PROPOSTA PARA  
PUBLCACÃO

TÍTULO

- DISSERTAÇÃO  
 TESE  
 RELATÓRIO  
 OUTROS

Simulação do ambiente espacial do satélite SCD-01 por placas aquecedoras

IDENTIFICAÇÃO

AUTOR(ES)

Humberto Pontes Cardoso  
Ezio Castejon Garcia

ORIENTADOR

DADOS DO TESSE

REV. TÉCNICA

Issamu Muraoka

RECEBIDO

DEVOLVIDO

ASSINATURA

7/6/87

9/6/89

*Isamu Muraoka*

Marcelo Lopes de O. e Souza

APROVADO

DATA

ASSINATURA

SIM

NÃO

1/1

*X m. lopes*

REV. LINGUAGEM

Nº

PRIOR.

RECEBIDO NOME DO REVISOR

PÁG.

DEVOLVIDO

ASSINATURA

Nº DA PUBLICAÇÃO:

PÁG.:

CÓPIAS:

Nº DISCO:

LOCAL:

OS AUTORES DEVEM MENCIONAR NO VERSO INSTRUÇÕES ESPECÍFICAS, ANEXANDO NORMAS, SE HOUVER

RECEBIDO DEVOLVIDO NOME DA DATILOGRAFA

APROVAÇÃO

DATILOGRAFIA

DIRETOR

SIM

NÃO

14/07/89

*Ed. H*

OBSERVAÇÕES E NOTAS

OBS.: Dispensado da revisão de linguagem.